



دینامیک کوانتومی یک نوسانگر هماهنگ اتلافی با جفت شدگی وابسته به سرعت

محسن دایی محمد^{۱*} و محمد نیلی احمد ابادی^۲

۱. گروه فیزیک، واحد نجف اباد، دانشگاه ازاد اسلامی، نجف اباد

۲. گروه ریاضی، واحد نجف اباد، دانشگاه ازاد اسلامی، نجف اباد

پست الکترونیکی: m.daeimohammad@pco.iaun.ac.ir

(دریافت مقاله: ۱۴۰۰/۱۰/۲۷؛ دریافت نسخه نهایی: ۱۴۰۰/۱۰/۲۳)

چکیده

نظریه کوانتومی یک نوسانگر هماهنگ اتلافی از سال ۱۹۳۹ میلادی به طور پیوسته مورد بررسی قرار گرفته است. برای کوانتش یک نوسانگر اتلافی معمولاً از محیطی که شامل تعدادی نوسانگر محدود و گسسته است استفاده می‌شود. با وجود این یک مجموعه از نوسانگرهای گسسته قادر نیست نظریه کوانتومی یک اتلاف اهمی (اتلاف مناسب با سرعت) را مورد بررسی قرار دهد. در حالی که با استفاده از یک محیط که شامل یک مجموعه پیوستاری از نوسانگرهای هماهنگ است می‌توان یک نوسانگر هماهنگ با اتلاف اهمی و به طور کلی یک نوسانگر اتلافی را مورد بررسی قرارداد. در این تحقیق از یک مجموعه پیوستاری از نوسانگرهای هماهنگ برای بررسی اتلاف اهمی استفاده شده است. استفاده از یک محیط پیوستاری به جای یک محیط گسسته، باعث غنی سازی نتایج سامانه دینامیکی خواهد شد. از نتایج این تحقیق می‌توان برای بررسی سامانه‌های نانو-مکانیکی و سامانه‌های اپتو-مکانیکی استفاده کرد.

واژه‌های کلیدی: نوسانگر هماهنگ اتلافی، محیط پیوستاری، کوانتش هامیلتونی، اتلاف اهمی (مناسب با سرعت)

۱. مقدمه

در معادله (۱) (یا تقویت با $\rightarrow \leftarrow$) منجر به دشواری‌هایی در کوانتش می‌شود؛ مشکلی که تحقیقات گسترده‌ای برای رفع آن از سال ۱۹۳۰ میلادی صورت گرفته است [۱-۳]. در این مقاله، ما با یک روش کاملاً متفاوت به کوانتش معادله (۱) می‌پردازیم. مشکل اصلی در کوانتش معادله (۱) پیدا کردن هامیلتونی مورد نیاز برای یافتن تحول زمانی است (برای بررسی به روشن انتگرال مسیر دانستن لاغرانژی کافی است). برای معادله (۱) یک لاغرانژی یا هامیلتونی وجود دارد ولی به جهت اتلاف (یا

تعداد کمی از سامانه‌های دینامیکی کلاسیکی وجود دارند که به اندازه یک نوسانگر اتلافی یک بعدی اهمیت و سادگی داشته باشند:

$$(1) \quad \ddot{q} + \gamma \dot{q} + \omega_0^2 q = f(t),$$

اما وقتی که این، تبدیل به یک نوسانگر کوانتومی اتلافی می‌شود دیگر روابط کوانتومی به سادگی قبل نخواهد بود. وجود اتلاف

که با یک محیط که شامل پیوستاری از نوسانگرها است که تمامی آنها بسامد مثبت دارند برهم کنش می‌کند. استفاده از یک محیط پیوستاری به جای یک محیط گسته، باعث غنی سازی سامانه دینامیکی خواهد شد. به دلیل این که سامانه مورد بررسی، تعداد درجات آزادی غیرقابل شمارش دارد بسیاری از ویژگی‌های یک میدان کوانتومی را خواهد داشت و از نظر کیفی با یک مجموعه قابل شمارش از نوسانگرها، حتی نامتناهی، متفاوت است. در اینجا ما یک روش کلی برای حل سامانه دینامیکی ارائه می‌کنیم و به طور دقیق اتلافی و تقویت اهمی را بررسی می‌کنیم که در واقع پیامد آن است که تابع جفت‌شدگی خاصی را در نظر گرفته‌ایم. کوانتش برای اتلاف کلی و اتلاف اهمی به طور کامل مورد بررسی قرار می‌گیرد و در مورد حمام حرارتی در تعادل گرمایی، ارزش انتظاری عملگرهای متفاوت را نسبت به متغیرهای محیط به دست می‌آوریم.

محیط پیوستاری اولین بار توسط هاتنرو بارنت در مرجع [۲۳] معرفی شد؛ مقاله‌ای که بسیار شناخته شده است ولی با این وجود نوادری و اهمیت روش‌های به کار رفته در آن کمتر مورد توجه قرار گرفته است. از یک محیط پیوستاری می‌توان برای کوانتش بندادی معادلات ماکسول ماکروسکوپیک برای یک محیط دلخواه که از رابطه کرامرز-کرونینگ پیروی می‌کند، استفاده کرد [۲۴ و ۲۵]. برای مثال محیط‌های غیرهمسانگرد و متحرک دو نمونه از این محیط‌ها هستند [۲۶ و ۲۷]. در این تحقیق قدرت کاربرد یک محیط پیوستاری با بررسی یک نوسانگر اتلافی و کوانتش آن نشان داده شده است.

نوسانگر هماهنگ کوانتومی اتلافی وجه اشتراک زیادی با نظریه نور در محیط‌های ماکروسکوپی دارد. این یک چارچوب جایگزین برای توصیف نوسانگر کوانتومی ماکروسکوپی است، که از نظر تجربی بسیار مورد توجه قرار گرفته است [۲۸-۳۲]. در اینجا به دلیل استفاده از یک محیط پیوستاری، محاسبات ریاضی نسبت به یک محیط گسته پیچیده‌تر خواهد بود. بسیاری از جنبه‌های ریاضی این دستگاه هنوز به طور کامل بررسی نشده است. به طور کلی به دلیل استفاده از یک محیط

تقویت) وابسته به زمان خواهد بود و این مسئله باعث بروز مشکلاتی در روابط کوانتش بندادی خواهد شد [۱ و ۲]. اگر اتلاف انرژی را از طریق وارد کردن سامانه‌ای با تعدادی درجه آزادی در محاسبات بررسی کنیم مشکل وابستگی هامیلتونی به زمان را نخواهیم داشت. ساده‌ترین روش بررسی این مسئله، نوشتن هامیلتونی به دو قسمت مجزا است که توصیف کننده یک نوسانگر اتلافی یا یک نوسانگر تقویت‌شده با یک انرژی کل ثابت است [۴]. اما متغیرهای بندادی سامانه [۴] موقعیت واندازه حرکت دو نوسانگر نخواهد بود، به طوری که باز هم امکان وارد کردن مستقیم رابطه جابه‌جایی بندادی روی هرنوسانگر وجود ندارد [۹-۲۱]. این دو برابر شدن درجات برای یک مجموعه از بی‌نهایت نوسانگر در مورد میدان‌های کوانتومی اتلافی مورد استفاده قرار گرفته است [۱۰]. در حال حاضر بهترین روش برای بررسی یک نوسانگر هماهنگ اتلافی، بررسی دینامیکی یک نوسانگر آزاد در حضور یک محیط است. یک روش کلی که در همه جا استفاده می‌شود به کارگیری مجموعه گسته‌ای از نوسانگرها به جای محیط است. این نوع مدل هامیلتونی اولین بار توسط ما گلینسکی معرفی شد [۱۱] و بهترین روش برای بررسی حرکت براونی است (یک ذره آزاد در یک محیط) [۱۰-۲۰]. حدی که اتلافی اهمی ایجاد می‌کند باعث کاهش فاصله بسامد بین نوسانگرها می‌شود ولی با این وجود بسامد نوسانگرها را بالا نگه می‌دارد. به عبارت دیگر محیط به طور مؤثر یک محیط پیوستاری در نظر گرفته می‌شود، ولی بعد از این که معادلات دینامیکی حل شد و فرض شد یک مجموعه گسته است. تاتارسکی نشان داده است که با یک محیط گسته امکان دسترسی به یک اتلاف اهمی وجود ندارد و ظهور یک اتلافی اهمی از طریق حد پیوستاری بعد از حل معادلات دینامیکی امکان پذیر است [۲۱]. علاوه بر روش‌هایی که به تازگی ارائه شده که در آنها به دنبال استفاده از روش‌های استاندارد کوانتش هستند، بررسی‌های پدیده شناختی بر روی نوسانگر اتلافی صورت گرفته که در آن کوانتش به آسانی امکان پذیر است ([۲۲] یک نمونه از آن است).

در این تحقیق، ما یک نوسانگر هماهنگ را در نظر می‌گیریم

معادله توصیف شده در رابطه (۲) یک مدل ساده شده هوتنر- بارت [۲۳] است که یک دی الکتریک با یک میدان الکترومغناطیسی جفت می شود. اگر میدان الکترومغناطیس و وابستگی فضایی محیط را حذف کنیم مدل هوتنر- بارت تقریباً به شکل معادله (۲) خواهد بود، با این تفاوت که جفت شدگی-ها از طریق $\dot{X}_\omega q$ انجام می شود. اختلاف اصلی مدل ارائه شده در رابطه (۲) با مدل هوتنر- بارت غیر از ساده سازی های که اشاره شد در سه مورد زیر است. الف) ما برای حل معادلات دینامیکی محیط فقط به جواب های رو به جلو و رو به عقب بستنده نمی کنیم. ب) در غالب موقع ماتابع جفت شدگی را یک تابع خاص در نظر می گیریم در حالی که در مدل هوتنر- بارت، تابع جفت شدگی را عمومی در نظر گرفته است. ج) جملات بر هم کنش متفاوت است. معادلات اویلر- لاغرانژی به صورت زیر خواهند بود:

$$\ddot{q} + \omega_0^2 q + \int_0^\infty d\omega \alpha(\omega) \dot{X}_\omega = 0, \quad (4)$$

$$\ddot{X}_\omega + \omega_0^2 X_\omega - \alpha(\omega) \dot{q} = 0, \quad (5)$$

از حل معادله (۵) داریم:

$$X_\omega = A_\omega(\omega) \cos \omega t + B_\omega(\omega) \sin \omega t + \frac{\alpha(\omega)}{\omega} \int_0^t dt' \dot{q}(t') \sin[\omega(t-t')] e^{-\omega|t-t'|},$$

$$A_\omega(\omega) = X_\omega(0), \quad B_\omega(\omega) = \frac{1}{\omega} \dot{X}_\omega(0), \quad (6)$$

که در آن 0^+ نشان دهنده یک مقدار بی نهایت کوچک مثبت است. با استفاده از (۶) می توانیم جابه جایی $(0) X_\omega$ و سرعت $(0) \dot{X}_\omega$ به محیط تحمیل کنیم (این شرایط اولیه نیست؛ زیرا رابطه (۶) برای همه زمان ها برقرار است). انتخاب $t=0$ دلخواه است و ما می توانیم بدون از دست دادن کلیت شرایط اولیه را برای یک زمان محدود غیر صفر در نظر بگیریم. وجود جمله نمایی در رابطه (۶) برای استفاده از تبدیلات فوریه بسیار مهم است و به طریق زیر قابل درک است. برای حل معادله (۶) می توانیم از ساختارتابع گرین $G(t)$ که در معادله زیر صدق می کند استفاده کنیم:

$$\ddot{G} + \omega_0^2 G = \delta(t), \quad (7)$$

پیوستاری، نتایج بسیار مهم تری برای یک نوسانگر کوانتومی اقلافی نسبت به یک محیط گسسته به دست می آوریم. ساختار این مقاله به صورت زیر است. در قسمت دوم لاغرانژی و معادلات حرکت را برای یک نوسانگر جفت شده با یک محیط پیوستاری به دست می آوریم. در بخش های ۳ و ۴ دینامیک کوانتومی را برای یک جفت شدگی خاص که متناسب با سرعت است، بررسی می کنیم. در قسمت ۵ هامیلتونی را کوانتیزه می کنیم و با استفاده از تبدیلات لاپلاس، جواب های معادلات حرکت را به دست می آوریم. در قسمت ۶ فرض می کنیم محیط یک حمام حرارتی باشد و ارزش انتظاری عملگرهای مختلف را نسبت به متغیرهای محیط، با استفاده از تقریب ویگنر- ویسکوف به دست می آوریم. سرانجام در قسمت ۷ نتایج را می آوریم.

۲. لاغرانژی و معادلات دینامیکی

ما یک سامانه دینامیکی در نظر می گیریم که توسط معادله لاغرانژی زیر توصیف می شود:

$$L = \frac{1}{2} \dot{q}^2 - \frac{1}{2} \omega_0^2 q^2 + \frac{1}{2} \int_0^\infty d\omega (\dot{X}_\omega^2 - \omega_0^2 X_\omega^2) + \int_0^\infty d\omega \alpha(\omega) \dot{q} X_\omega, \quad (2)$$

در اینجا q مکان و ω_0 بسامد نوسانگر است و همچنین X_ω مکان و ω بسامد نوسانگرهای محیط است. نوسانگر و محیط به شکل خطی و از طریق سرعت با هم جفت می شوند و $\alpha(\omega)$ تابع جفت شدگی است. همچنین فرض کردۀ ایم نوسانگرهای محیط نمی توانند به طور مستقیم با یکدیگر جفت شوند. متغیرهای دینامیکی در رابطه (۲) به معنی میدان نیستند، اما وابستگی X_ω به کمیت پیوستاری ω برخلاف یک محیط شامل نوسانگرهای گستته، بسیاری از خصوصیات یک نظریه میدان را به این سامانه می بخشند.

انرژی کل سامانه توسط رابطه زیر تعریف می شود:

$$E = \frac{1}{2} \dot{q}^2 + \frac{1}{2} \omega_0^2 q^2 + \frac{1}{2} \int_0^\infty d\omega (\dot{X}_\omega^2 + \omega_0^2 X_\omega^2) - \int_0^\infty d\omega \alpha(\omega) \dot{q} X_\omega, \quad (3)$$

$$\begin{aligned} X_{\omega}(\omega') = & \pi [A_{\circ}(\omega) + iB_{\circ}(\omega)] \delta(\omega - \omega') + \\ & \pi [A_{\circ}(\omega) - iB_{\circ}(\omega)] \delta(\omega + \omega') + P \frac{\alpha(\omega) \dot{q}(\omega')}{\omega' - \omega'} \\ & + \frac{\alpha(\omega)}{\imath \omega} [\delta(\omega - \omega') - \delta(\omega + \omega')] P \int_{-\infty}^{+\infty} d\xi \frac{\dot{q}(\xi)}{\xi - \omega'}, \end{aligned} \quad (13)$$

در اینجا عدد بینهایت کوچک 0^+ که در معادله (۶) وارد شده است باعث به وجود آمدن مقدار اصلی کوشی شده که آن را با نماد P نشان داده ایم. اگر از معادلات (۴) و (۵) تبدیل فوریه بگیریم به دست می آوریم:

$$(-\omega'^r + \omega_{\circ}^r) q(\omega') + \int_{-\infty}^{+\infty} d\omega \alpha(\omega) \dot{X}_{\omega}(\omega') = 0, \quad (14)$$

$$(-\omega'^r + \omega_{\circ}^r) X_{\omega}(\omega') - \alpha(\omega) \dot{q}(\omega') = 0, \quad (15)$$

با استفاده از رابطه

$$\dot{X}_{\omega}(\omega') = -i\omega' X_{\omega}(\omega'), \quad \dot{q}(\omega') = -i\omega' q(\omega')$$

و استفاده از روابط (۱۳) و (۱۴) می توان نوشت:

$$\begin{aligned} & \left[(\omega'^r - \omega_{\circ}^r) q(\omega') + i\omega' \dot{q}(\omega') P \int_{-\infty}^{+\infty} d\omega \frac{\alpha'(\omega)}{\omega' - \omega'} \right] \\ & + i \frac{\alpha'(|\omega'|)}{\imath} P \int_{-\infty}^{+\infty} d\xi \frac{\dot{q}(\xi)}{\xi - \omega'} \\ & = -i\pi\omega' \alpha(|\omega'|) \left[A_{\circ}(|\omega'|) + i \operatorname{sgn}(\omega') B_{\circ}(|\omega'|) \right], \end{aligned} \quad (16)$$

معادله بالا، رابطه $q^*(\omega') = q(-\omega')$ را که برای حقیقی بودن لازم است براورده می کند. هنگامی که $q(\omega)$ را از رابطه (۱۶) به دست آوردیم می توانیم با جایگذاری آن در (۶) تابع $X_{\omega}(t)$ را نیز به دست آوریم. در به دست آوردن رابطه (۱۶) فرض کردیم انتگرال های زمان و بسامد با هم جایگزین باشند. اگر این شرط معتبر نباشد جواب به دست آمده برای $q(\omega')$ از معادله (۱۶) با جواب های $q(t), X_{\omega}(t)$ که از معادلات (۴) به دست می آید، یکسان نیست. در واقع برای یک ثابت جفت شدگی ثابت (برای مثال مستقل از بسامد) $\alpha(\omega) = a$ انتگرال های زمانی و بسامدی با هم جایه جا نمی شوند، اما در این حالت معادلات حرکت در حوزه زمان به آسانی قابل حل خواهند بود و احتیاج به تبدیلات فوریه و تبدیل معادلات به حوزه بسامد نداریم. برای این که رابطه (۱۶) صادق

برای مثال توابع گرین رو به جلو $G_r(t)$ و رو به عقب $G_a(t)$ توسط معادلات زیر توصیف می شوند:

$$G_r = \frac{1}{\omega} \theta(t) \sin \omega t e^{-\omega^+ t}, \quad (8)$$

$$G_a = -\frac{1}{\omega} \theta(-t) \sin \omega t e^{\omega^+ t}, \quad (9)$$

اینجا $\theta(t)$ تابع پله ای است. جملات نمایی در معادلات (۸) و (۹) برای وجود تبدیلات فوریه ضروری است و عدد بینهایت کوچک 0^+ نشان دهنده قطب های توابع گرین است. همچنین تابع G_r در نیمه بالایی صفحه مختلط ω تحلیلی است. تابع G_a در نیمه پایینی صفحه مختلط ω نیز تحلیلی است. جواب عمومی رابطه (۶) از تفاضل توابع گرین رو به جلو و رو به عقب به دست می آید:

$$G_r - G_a = \frac{1}{\omega} \sin \omega t e^{-\omega^+ |t|}, \quad (10)$$

که در واقع جواب همگن معادله (۷) است (معادله (۷) بدون قسمت دلتا). این باعث به وجود آمدن عامل نمایی در (۶) می شود که برای تعریف تبدیل فوریه $X_{\omega}(t)$ ضروری است. با جایگذاری (۶) در رابطه (۴) به دست می آوریم:

$$\begin{aligned} \ddot{q} + \omega_{\circ}^r q + \frac{d}{dt} \int_{-\infty}^t d\omega \int_{-\infty}^{\omega} \dot{q}(t') \frac{\alpha'(\omega)}{\omega} \sin[\omega(t-t')] e^{-\omega^+ |t-t'|} + \\ \int_{-\infty}^{\infty} d\omega \alpha(\omega) \left\{ \frac{1}{\imath} [A'(\omega) + iB'(\omega)] \exp(-i\omega t) + c.c. \right\} = 0, \end{aligned} \quad (11)$$

در اینجا $A'(\omega) = -i\omega A_{\circ}(\omega)$ و $B'(\omega) = -i\omega B_{\circ}(\omega)$ است. حل معادله دیفرانسیل - انتگرال فوق در حوزه زمان برای اغلب توابع جفت شدگی $\alpha(\omega)$ دشوار است. اگر معادله فوق در حوزه بسامد نوشه شود با انتخاب تابع جفت شدگی $\alpha(\omega)$ به روش - های سیستماتیک قابل حل خواهد بود. برای سادگی محاسبات به جای این که از معادله (۱۱) تبدیل فوریه بگیریم از معادله (۶) تبدیل فوریه می گیریم و نتیجه حاصل شده را در تبدیل فوریه معادله (۴) قرار می دهیم. با استفاده از رابطه

$$f(t) = \frac{1}{2\pi} \int_{-\infty}^{+\infty} d\omega f(\omega) \exp(-i\omega t), \quad (12)$$

بین فضای زمان و بسامد و استفاده از رابطه (۶) می توان نوشت:

تر استفاده کرده‌ایم با مباحث چالش برانگیزتر ریاضیات سروکار داریم. در اینجا به جای ثابت جفت شدگی که فقط مقایر گسسته می‌پذیرد از یک تابع پیوستاری (ω) که هر تابعی در فضای توابع حقیقی می‌تواند باشد استفاده کرده‌ایم. علاوه بر این برای بعضی توابع جفت شدگی (ω) برای این که معادله (۱۶) حل پذیر باشد احتیاج به اعمال محدودیت‌هایی روی (ω) می‌باشیم در حالی که برای بعضی از توابع جفت شدگی، چنین محدودیتی لازم نیست [۳۵ و ۳۶]. نظریه ریاضات عمومی نشان می‌دهد که یک زیرفضا از توابع جفت شدگی وجود دارد که معادله (۱۶) جواب‌های بدیهی $X_\omega(t) = X_\omega(0) = q(t)$ را برای حالت $q(t) = 0$ می‌دهد، اگرچه به هیچ وجه مشخص نیست این زیرفضا چیست. علاوه بر شکل معادله (۶)، احتیاج به یک جواب کلی تر برای معادله (۵) داریم که در آن امکان تحمیل شرایط برای زمان‌های گذشته یا آینده متناهی فراهم باشد. در اینجا گذشته در بینهایت $(t \rightarrow -\infty)$ انتخاب می‌شود، و شکل لازم برای جواب عمومی معادله (۵) از تابع گرین رو به عقب (۸) به دست می‌آید.

$$X_\omega = A_R(\omega) \cos \omega t + B_R(\omega) \sin \omega t + \frac{\alpha(\omega)}{\omega} \int_{-\infty}^t dt' q(t') \sin[\omega(t-t')] e^{-\omega|t-t'|}, \quad (17)$$

در اینجا تابع $A_R(\omega), B_R(\omega)$ تعیین کننده مقدار تابع $X_\omega(t)$ در حد $t \rightarrow -\infty$ است به شرط این که انتگرال آخر در حد $t \rightarrow -\infty$ صفر باشد (ویژگی آخر ممکن است برای همه راه حل‌ها مناسب نباشد). با استفاده از روابط (۱۷) می‌توان نوشت:

$$\ddot{q} + \omega_0^2 q + \frac{d}{dt} \int_{-\infty}^t d\omega \int_{-\infty}^t dt' q(t') \frac{\alpha'(\omega)}{\omega} \sin[\omega(t-t')] e^{-\omega|t-t'|} + \int_{-\infty}^t d\omega \alpha(\omega) \left\{ \frac{i}{\omega} [A'_R(\omega) + iB'_R(\omega)] \right\} = 0, \quad (18)$$

در اینجا $B'_R(\omega) = -i\omega B_R(\omega)$ و $A'_R(\omega) = -i\omega A_R(\omega)$. با گرفتن تبدیل فوریه از دو طرف معادله (۱۷) به دست می‌آوریم:

باشد باید رفتار تابع جفت شدگی به گونه‌ای باشد که انتگرال شامل $(\omega)^2$ واگرا نشود. به محض این که تابع جفت شدگی و حالت محیط در زمان $t=0$ تعیین شد، (۱۶) یک معادله انتگرال با مقدار اصلی کوشی ارائه می‌دهد که به عنوان یک معادله انتگرال منفرد شناخته می‌شود. در یک طبقه‌بندی استاندارد، معادله (۱۶) یک معادله انتگرال منفرد ناهمگن است. یک روش سیستماتیک برای حل معادله انتگرال منفرد وجود دارد که از برخی تحلیل‌های پیچیده ریمان و هیلبرت بهره می‌برد [۳۳ و ۳۴]. معادله انتگرال (۱۶) با استفاده از نظریه توابع تحلیلی و داشتن شرایط مرزی قابل حل خواهد بود و عموماً یک مسئله ریمان نامیده می‌شود (گاهی اوقات مسئله هیلبرت نیز نامیده می‌شود). اگر مسئله جواب باشد از روش‌های ریمان می‌توان جوابی برای آن یافت [۳۳ و ۳۴].

نکات زیر در مورد معادلات دینامیکی بالا بسیار مهم است. با داشتن تابع جفت شدگی و ضرایب $(A'_0(\omega), B'_0(\omega))$ ، معادله (۱۶) قابل حل است مشروط بر این که جواب در شرط $q(-\omega) = q^*(\omega)$ صدق کند و انتگرال شامل (ω) واگرا نشود. به عبارت دیگر ما می‌توانیم برای بررسی دینامیک نوسانگر q از مجموعه بزرگی از توابع $q(t)$ که تبدیل فوریه آنها وجود دارد استفاده کنیم و از رابطه (۱۶) برای یافتن مقادیر جابه‌جایی و سرعت محیط در $t=0$ که باعث ایجاد دینامیک $q(t)$ است استفاده کنیم. باید توجه داشت که برای جواب‌های $X_\omega(t), q(t)$ ممکن است تبدیلات فوریه وجود نداشته باشد برای مثال هیچ دلیل ریاضی برای محدود بودن تابع $q(t)$ وجود ندارد. حتی در صورت وجود $q(\omega)$ برای $q(t)$ تنها روش به دست آوردن آن، معادله (۱۶) است که البته وقتی امکان پذیراست که انتگرال‌های حاوی $q(\omega)$ وجود داشته باشند. به دلیل این که در اینجا از یک محیط پیوستاری که شامل بینهایت نوسانگر مستقل است استفاده می‌کنیم، روابط دینامیکی کاملاً متفاوت از یک محیط گسسته شامل تعداد محدودی نوسانگر می‌شود. تجزیه و تحلیل سامانه دینامیکی متشکل از تعداد نوسانگر گسسته عمدهاً یک مسئله جبری است [۲۱]. در بررسی صورت گرفته در این مقاله به دلیل این که از دینامیک بسیار غنی -

$$P \int_0^\infty d\xi \frac{\alpha'(\xi)}{\xi - \omega'} = \frac{\gamma' a' \omega'_*}{\omega' + \gamma'}, \quad (22)$$

با این انتخاب، تابع جفت شدگی معادله انتگرالی (۱۶) به صورت تبدیل خواهد شد:

$$\begin{aligned} P \int_{-\infty}^{+\infty} d\xi \frac{\dot{q}(\xi)}{\xi - \omega} &= -\pi \left[\frac{\omega' \gamma' a' \omega'_* + (\omega' - a' \omega'_*)(\omega' + \gamma')}{a' \omega'_* \omega' \gamma} \right] \\ \dot{q}(\omega) &- \frac{\gamma \pi}{a \omega_*} \left(\frac{\omega' + \gamma'}{\gamma} \right) \left[\operatorname{sgn}(\omega) A_*(|\omega|) + i B_*(|\omega|) \right], \end{aligned} \quad (23)$$

جواب عمومی معادله (۲۳) از حل معادله همگن زیر به دست می‌آید:

$$P \int_{-\infty}^{+\infty} d\xi \frac{\dot{q}(\xi)}{\xi - \omega} = -\pi \left[\frac{\omega' \gamma' a' \omega'_* + (\omega' - a' \omega'_*)}{(\omega' + \gamma') a' \omega'_* \omega' \gamma} \right] \dot{q}(\omega), \quad (24)$$

از حل معادله (۲۴) می‌توانیم $(\omega')' q(\omega)$ را به دست آوریم و سپس با گرفتن تبدیل فوریه از آن به دست می‌آوریم (پیوست الف را ببینید):

$$\dot{q}(t) = \frac{C_1}{\alpha' + (t - \beta)^r} + \frac{C_r}{\alpha' + (t + \beta)^r}, \quad (25)$$

سپس با انتگرال‌گیری از معادله (۲۵) به دست می‌آوریم:

$$q(t) = \frac{C_1}{\alpha} \operatorname{Arctg} \left(\frac{t - \beta}{\alpha} \right) + \frac{C_r}{\alpha} \operatorname{Arctg} \left(\frac{t + \beta}{\alpha} \right) + C_r \quad (26)$$

در اینجا C_1 و C_r ثابت‌هایی دلخواه هستند و داریم:

$$\beta = \frac{\sqrt{r(a' \omega'_* - \gamma' - \gamma' a' \omega'_*)} - \gamma' a' \omega'_*}{r}, \quad (27)$$

$$\alpha = -\frac{\gamma a' \omega'_*}{r}$$

با قرار دادن (۲۶) در معادله (۶) به دست می‌آوریم:

$$\begin{aligned} X_\omega(t) &= \frac{1}{r} \frac{1}{\sqrt{a' \omega'_* - \gamma'}} \left(-2C_1 \left(\omega \left(-\sqrt{a' \omega'_* - \gamma'} + t \right) \right) \right) \\ &\quad \omega \sqrt{a' \omega'_* - \gamma'} \cos \left(\omega \left(-\sqrt{a' \omega'_* - \gamma'} + t \right) \right) \\ &\quad + 2C_1 \left(\sqrt{a' \omega'_* - \gamma'} \omega \right) \omega \sqrt{a' \omega'_* - \gamma'} \\ &\quad \cos \left(\omega \left(-\sqrt{a' \omega'_* - \gamma'} + t \right) \right) + \left(\frac{-r \sqrt{a' \omega'_* - \gamma'} \omega S_i}{\sqrt{a' \omega'_* - \gamma'} \omega} \right) \\ &\quad + \pi \left| \sqrt{a' \omega'_* - \gamma'} \omega \right| \end{aligned}$$

$$\begin{aligned} X_\omega(\omega') &= \pi \left[A_R(\omega) + i B_R(\omega) \right] \delta(\omega - \omega') + \\ &\quad \pi \left[A_R(\omega) - i B_R(\omega) \right] \delta(\omega + \omega') + P \frac{\alpha(\omega) \dot{q}(\omega')}{\omega' - \omega''} \\ &\quad + \frac{i \pi \alpha(\omega) \dot{q}(\omega')}{r \omega} \left[\delta(\omega - \omega') - \delta(\omega + \omega') \right], \end{aligned} \quad (19)$$

با جایگذاری معادله (۱۹) در معادله (۱۴) به دست می‌آوریم:

$$\begin{aligned} &\left[\left(\omega' - \omega'_* \right) q(\omega') + i \omega' \dot{q}(\omega') \right] + \frac{\pi \alpha'(|\omega'|)}{r} \dot{q}(\omega) \\ &= -\pi \alpha(|\omega'|) \left[A_R(|\omega'|) + i \operatorname{sgn}(\omega') B_R(|\omega'|) \right], \end{aligned} \quad (20)$$

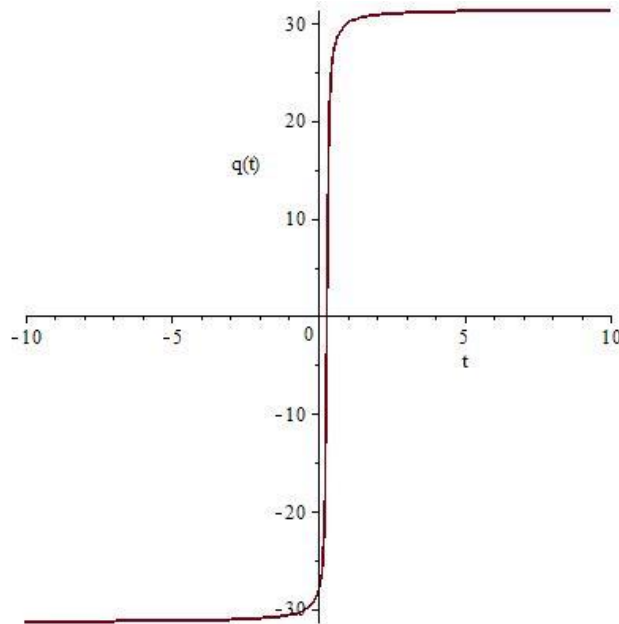
معادله فوق نمایش معادله (۱۸) در حوزه بسامد است. از معادله (۲۰) می‌توان $(\omega') \dot{q}(t)$ را به دست آورد و سپس با استفاده از آن (۱۷) را به دست آورد و با جایگذاری $(t) \dot{q}$ در معادله (۱۷) می‌توان $(t) X_\omega$ را به دست آورد. معادله فوق مسیر ساده‌تری برای حل دینامیکی مسئله نسبت به معادله (۱۶) است. بنابراین به نظرمی‌رسد که به دلیل این که از هر دو معادله (۱۶) و (۲۰) می‌توان به جواب دینامیکی مسئله رسید باید معادله (۱۶) را کنار گذاشت. اما به دلیل این که امکان تحمیل شرایط به طور مستقیم بر روی محیط در یک زمان محدود وجود دارد، معادله (۱۶) امکان پیدا کردن جواب‌های خاصی را فراهم می‌کند که در معادله (۲۰) امکان پذیر نیست. این مورد را در بخش‌های ۳ و ۴ به طور کامل بررسی خواهیم کرد. قبل از انجام کوانتش سامانه برای یک شکل کلی تابع جفت شدگی (ω) ، از نظر کلاسیکی نشان می‌دهیم که یک تابع جفت شدگی خاص اتلافی متناسب با سرعت را نشان می‌دهد.

۳. جفت شدگی برای اتلافی متناسب با سرعت

تابع جفت شدگی را به صورت زیر در نظر می‌گیریم:

$$\alpha(\omega) = a \omega_* \omega \left[\frac{2\gamma}{\pi(\omega' + \gamma')} \right]^{\frac{1}{2}}, \quad \gamma > 0 \quad (21)$$

تابع فوق به شکل یکنواخت از مقدار صفر در $\omega = 0$ تا مقدار مجانبی $a \omega_*$ در $\omega \rightarrow \infty$ افزایش می‌یابد و a ثابتی دلخواه با بعد زمان است. تابع (۲۱) رابطه انتگرالی زیر را برآورده می‌کند:



شکل ۱. نمودار $q(t)$ بر حسب زمان برای معادله (۲۶) برای مورد (۲۶) دلیل مورد، $A_s(\omega) = B_s(\omega) = 0, a = 1, C_s = 1, C_r = 0, \omega_0 = 0.5, \lambda = 0.4$

شدت افزایش می‌یابد و نوسانگر توسط محیط تقویت می‌شود و در زمان $\infty \rightarrow t$ به دامنه اولیه بر می‌گردد و تمامی انرژی ازدست رفته به نوسانگر برمی‌گردد. معادله (۲۶) دقیقاً جواب‌های معادلات زیر هستند:

$$\ddot{q} + \gamma \dot{q} + \omega_0^2 q = f_1(t), \quad t \geq \frac{1}{\gamma}$$

$$(t \leq \frac{1}{\gamma}) \ddot{q} - \gamma \dot{q} + \omega_0^2 q = f_1(t), \quad (30)$$

در اینجا $f_1(t)$ ترکیبی از توابع ارک تانژانتی و مشتقات اول و دوم آن خواهد بود و به دلیل این که به شکل نوسانی نیست معادله حرکت ذره نیز نوسانی نخواهد بود. در واقع معادلات فوق معادلات حرکت یک ذره اتلافی یا تقویت شده اهمی اتلاف یا تقویت متناسب با سرعت) و اداشته را نشان می‌دهد که به شکل بندادی می‌توان آن را کوانتیزه کرد.

از شکل ۲ مشاهده می‌کنیم که $X_{\omega}(t)$ در بسامدهای پایین دامنه به شدت افزایش می‌یابد و در تمامی نواحی به صورت نوسانی - اتلافی تغییر می‌کند. به علت دشواری به دست آوردن

جواب معادله غیرهمگن (۲۳) در حوزه بسامد، جواب

معادله غیرهمگن آن را در حوزه زمان به دست می‌آوریم. با استفاده از معادله (۱۱) می‌توان نوشت:

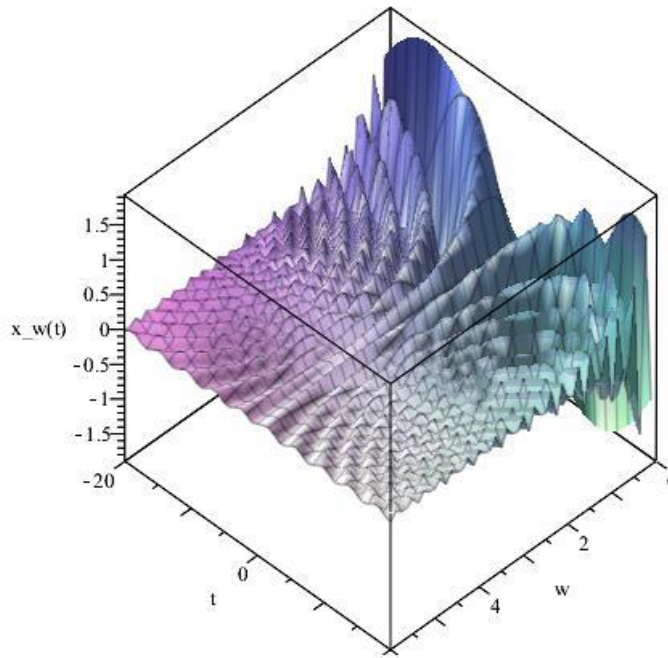
$$-\gamma \omega \sqrt{a^r \omega_s^r - \gamma^r} Si\left(\omega\left(-\sqrt{a^r \omega_s^r - \gamma^r}\right) + t\right) + \omega \sqrt{a^r \omega_s^r - \gamma^r} \pi Ssi\left(\omega\left(-\sqrt{a^r \omega_s^r - \gamma^r}\right) + t\right) \sin\left(\omega\left(-\sqrt{a^r \omega_s^r - \gamma^r}\right) + t\right), \quad (28)$$

در اینجا تعریف کرده‌ایم :

$$Si(x) = \int_0^x \frac{\sin(t)}{t}, \quad (29)$$

$$Ssi(x) = Si(x) - \frac{1}{\gamma} \pi, \quad Ci(x) = \gamma + \ln(x) + \int_0^x \frac{\cos(t)-1}{t} dt,$$

در شکل ۱ نمودار تابع $q(t)$ بر حسب زمان t رسم شده است. همان طورکه مشاهده می‌شود نمودار حرکت سامانه غیرنوسانی خواهد بود. در لحظه اولیه ($t \rightarrow -\infty$) نوسانگر دریشینه دامنه جایه‌جایی خود ($-30 = q(t) = 0$) قرار دارد و تمامی انرژی در نوسانگر متتمرکز است. با گذشت زمان دامنه نوسانگر به آهستگی کاهش می‌یابد و انرژی نوسانگر به محیط منتقل می‌شود سپس در یک بازه زمانی کوچک، دامنه نوسانگر به شدت کاهش یافته تا در لحظه $t = \frac{1}{\gamma}$ به حالت سکون می‌رسد و تمامی انرژی خود را به محیط منتقل می‌کند. سپس دوباره با گذشت زمان، دامنه نوسانگر در یک بازه زمانی کوچک به



شکل ۲. نمودار سه بعدی $X_\omega(t)$ مربوط به معادله (۲۸) بر حسب (ω, t) برای مورد .
 $A_\circ(\omega) = B_\circ(\omega) = 0, a = 1, \omega_0 = 0.5, \lambda = 0.4$

صورت نوسانی- اتلافی کاهش می یابد و به این مفهوم است که نوسانگر به صورت نوسانی - اتلافی با محیط خود تبادل انرژی می کند و پس از گذشت زمانی، نوسانگر متوقف می شود و تمامی انرژی خود را به محیط منتقل می کند.

همچنین شکل ۴ نشان می دهد دامنه نوسانگرهای محیط در محدوده بزرگی از بسامد ثابت می ماند و در بسامدهای کوچک شدیداً افزایش می یابد.

$$\ddot{q} + \omega_0^2 q + \text{sgn}(t) \gamma \omega_0^2 \frac{d}{dt} \int_{-\infty}^{\infty} dt' \dot{q}(t') \exp^{-\gamma|t-t'|} = -f_r(t), \quad (31)$$

$$f_r(t) = \int_{-\infty}^{\infty} d\omega \omega \omega \left[\frac{\gamma}{2\pi(\omega^2 + \gamma^2)} \right]^{\frac{1}{2}} \{ [A_\circ(\omega) + iB_\circ(\omega)] \exp(-i\omega t) + c.c. \}, \quad (32)$$

از حل معادله دیفرنسیل- انتگرال (۳۱) به دست می آوریم (پیوست ب بینید):

$$q(t) = -\frac{A}{\omega_0} \int_{-\infty}^t \sin(At') f_r(t-t'), \quad (33)$$

در اینجا $A = \sqrt{\frac{\omega_0(1+\gamma)}{1+\gamma+\omega_0^2 \text{sgn}(t)}}$ است. برای مورد خاصی

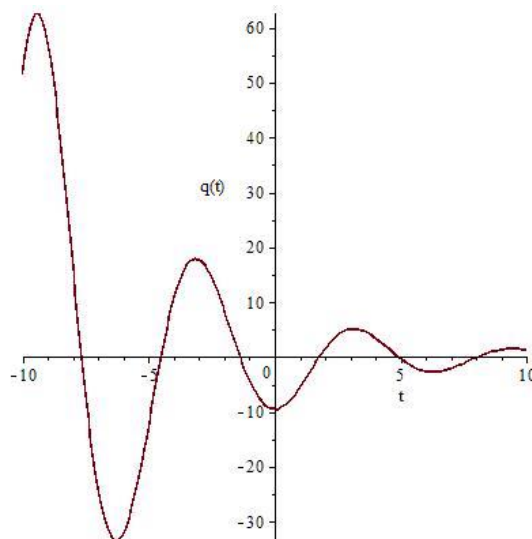
که $f_r(t) = e^{-\gamma t}$ باشد می توان نوشت:

$$q(t) = \frac{A\pi}{\omega_0} \left[\frac{e^{-\gamma t}}{\gamma^2 + A^2} \right] [-\gamma \sin At - A \cos At], \quad (34)$$

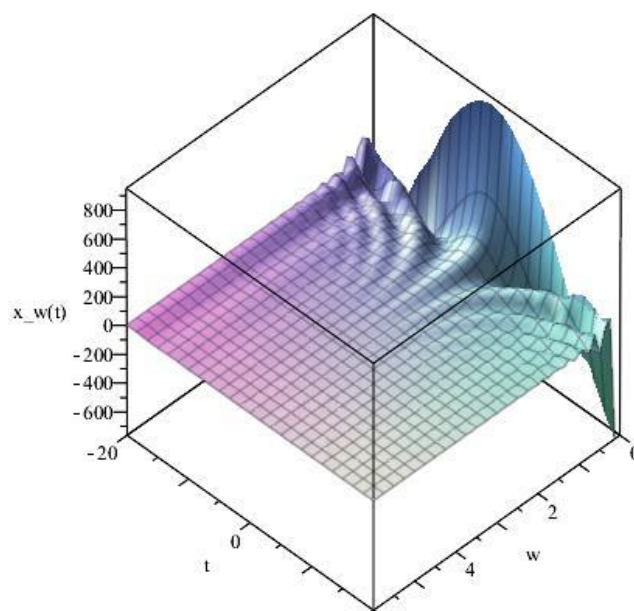
در شکل ۳ نمودار $q(t)$ بر حسب زمان رسم شده است. مشاهده می شود که در لحظه اولیه ($t = -10^\circ$) نوسانگر در بیشینه جابه جایی خود ($q = -60^\circ$) قرار دارد و تمامی انرژی در نوسانگر متumerکزاست. با افزایش زمان، دامنه نوسانگر به

۴. جفت شدگی برای اتلافی متناسب با سرعت II
 شکل های معادلات دینامیکی (۱۶) و (۱۷) را می توان با به عقب بردن حد انتگرال گیری از $t = 0$ در معادلات (۶) و (۱۱) به $t \rightarrow -\infty$ به دست آورد. بخشی از $X_\omega(t)$ در (۱۷) که از حل معادله همگن (۵) با $q(t) = 0$ به دست می آید توصیف کننده حالت محیط در $t \rightarrow -\infty$ است، اگر جمله آخر در معادله (۱۷) در $t \rightarrow -\infty$ صفر شود. برای تابع جفت شدگی (۲۱) که معادله (۲۰) را برآورده می کند می توان معادله (۲۰) را به شکل زیر نوشت:

$$\frac{\omega^2}{\omega + i\gamma} (\omega + i\gamma - \omega_0) = g(\omega).$$



شکل ۳. نمودار $q(t)$ برای جواب معادله (۳۴) مورد $(A_s(\omega), B_s(\omega) \neq 0, \omega_s = \omega_0/1, \lambda = \omega_0/2)$.



شکل ۴. شکل سه بعدی $X_w(\omega, t)$ بر حسب (ω, t) برای مورد $(A_s(\omega), B_s(\omega) \neq 0, \omega_s = \omega_0/1, \lambda = \omega_0/2)$.

$$g(t) = \int_{-\infty}^{\infty} d\omega \omega_s \omega \left[\frac{\gamma}{\gamma \pi (\omega_s + \gamma)} \right]^{\frac{1}{r}} \left[[A_R(\omega) + iB_R(\omega)] \exp(-i\omega t) + c.c. \right], \quad (37)$$

به دلیل حضور ω^2 در طرف چپ معادله (۳۷)، جواب معادله

$$\text{همگن } (g(\omega) = 0 \text{ به صورت زیر است:} \\ q(\omega) = \gamma b \delta(\omega) \Rightarrow q(t) = b, \quad (38)$$

در اینجا b ثابتی دلخواه است. با قرار دادن $b = q(t)$ در معادله

$$g(\omega) = -i\omega_s \omega \left[\frac{\gamma \pi \gamma}{\omega_s + \gamma} \right]^{\frac{1}{r}} \left[\text{sgn}(\omega) A_R(|\omega|) + iB_R(|\omega|) \right], \quad (39)$$

در حوزه زمان می توان معادله (۱۸) را به شکل خلاصه شده زیر نوشت:

$$\ddot{q} + \omega_s^2 q + \gamma \omega_s \frac{d}{dt} \int_{-\infty}^{\infty} dt' \dot{q}(t') \exp[-\gamma(t-t')] = -\dot{g}(t), \quad (40)$$

جواب کلی موقعیت برای نوسانگر به صورت معادله (۴۷) خواهد بود، حال مورد خاصی را بررسی می‌کنیم که داشته باشیم:

$$q(t) = b - \int_{-\infty}^{\infty} dt' G_R(t-t') \dot{g}(t'), \quad (47)$$

$$g(t) = e^{-\gamma t} (m \sin \omega_0 t + n \cos \omega_0 t), \quad (48)$$

در اینجا m, n ضرایبی ثابت و γ لخواه هستند. از حل معادله (۴۷) به دست می‌آوریم:

$$q(t) = e^{-\gamma t} \sin(\omega_0 t), \quad (49)$$

مشاهده می‌شود که حرکت ذره نوسانی- اتلافی است و $q(t)$ یک تابع گذرا خواهد بود که به نسبت $\frac{1}{\gamma}$ فرو افت می‌کند و پس از مدتی به سمت صفر میل خواهد کرد. بنابراین معادله حرکت نوسانگر غیرپایدار است.

۵. کوانتش هامیلتونی

در این قسمت با تعریف اندازه حرکت‌های بندادی برای نوسانگر و محیط به صورت:

$$\Pi_q(t) = q(t), \quad (50)$$

$$a \Pi_{X_\omega}(t) = \dot{X}_\omega(t), \quad (51)$$

به کوانتش سامانه در تصویر هایزنبیرگ، با استفاده از روابط جابه‌جایی بندادی در زمان‌های مساوی زیر می‌پردازیم:

$$\begin{aligned} [\hat{q}(t), \hat{\Pi}_q(t)] &= i\hbar, \\ [\hat{X}_\omega(t), \hat{\Pi}_{X_\omega}(t)] &= i\hbar\delta(\omega - \omega'), \end{aligned} \quad (52)$$

$$\begin{aligned} [\hat{\Pi}_{X_\omega}(t), \hat{\Pi}_{X_{\omega'}}(t)] &= 0, \\ [\hat{\Pi}_q(t), \hat{X}_\omega(t)] &= 0, \quad [\hat{q}(t), \hat{X}_\omega(t)] = 0. \end{aligned} \quad (53)$$

رابطه جابه‌جایی برای محیط به دلیل پیوستاری بودن بسامد مشابه نظریه میدان است. در این حالت هامیلتونی به صورت زیر خواهد بود:

$$\begin{aligned} \hat{H} &= \frac{1}{\gamma} \hat{\Pi}_q^\dagger + \frac{1}{\gamma} \omega_0^\dagger \hat{q}^\dagger + \frac{1}{\gamma} \int_0^\infty d\omega \left(\Pi_{X_\omega}^\dagger + \omega^\dagger \hat{X}_\omega^\dagger \right) \\ &- \frac{1}{\gamma} \int_0^\infty d\omega \alpha(\omega) \left[\hat{\Pi}_q \hat{X}_\omega + \hat{X}_\omega \hat{\Pi}_q \right], \end{aligned} \quad (54)$$

(۵) به دست می‌آوریم:

$$X_\omega(t) = A_R(\omega) \cos(\omega t) + B_R(\omega) \sin(\omega t), \quad (39)$$

با قراردادن معادله (۳۹) در معادله (۴) مشاهده می‌کنیم که اگر بخواهد رابطه فوق همواره برقرار باشد باید داشته باشیم:

$$A_R(\omega) = B_R(\omega) = 0, \quad (40)$$

بنابراین نتیجه می‌گیریم:

$$X_\omega(t) = 0, \quad (41)$$

با قرار دادن معادله (۴۱) در معادله (۵) به دست می‌آوریم:

$$q(t) = 0 \quad (42)$$

در این حالت سامانه و نوسانگرهای محیط همه در حالت ترازمندی قراردارند و هیچ گونه تبادل انرژی بین نوسانگر و محیط صورت نمی‌گیرد و معادلات (۴) و (۵) فقط جواب‌های بدیهی $q(t) = 0, X_\omega(t) = 0$ را خواهند داشت. جواب کلی معادله (۳۵) ترکیبی از جواب عمومی معادله (۳۵) و جواب معادله ناهمگن زیر است.

$$q(\omega) = -G_R(\omega) g(\omega), \quad (43)$$

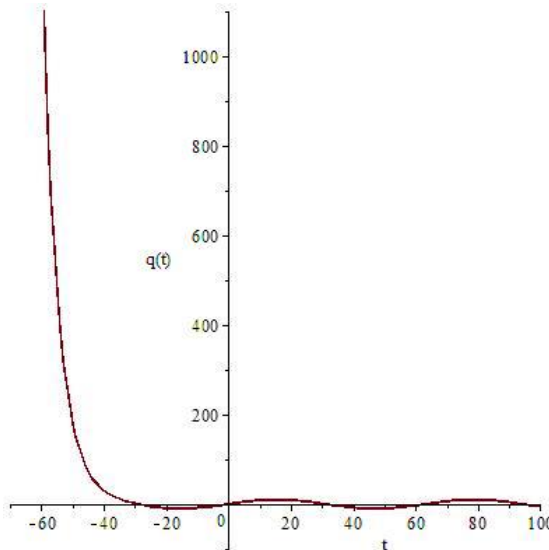
$$G_R(\omega) = -\frac{\omega + i\gamma}{(\omega^\dagger + i\gamma^\dagger)(\omega + i\gamma - \omega_0)}, \quad (44)$$

در معادله (۳۷) ما یک تابع گرین معرفی کرده‌ایم و روشی برای برخورد با قطب $\omega = \omega_0$ ارائه کرده‌ایم. ما قطب $\omega = \omega_0$ را به صفحه پایینی صفحه مختلط، جایی که قطب دیگر نیز قرار دارد، انتقال داده‌ایم. بنابراین تابع گرین که در نیم صفحه بالا تحلیلی است را انتخاب کرده‌ایم. در واقع در اینجا تابع گرین یک روش متفاوت برای برخورد با قطب $\omega = \omega_0$ ارائه می‌دهد که با جواب (۳۰) متفاوت است. اگر از معادله (۳۷) تبدیل معکوس فوریه بگیریم داریم:

$$G_R(t) = \frac{-|t|\gamma}{\gamma(\gamma + i\omega_0)} + \frac{i\omega_0 \left[\theta(t) + \theta(-t) e^{(\gamma + i\omega_0)t} - \frac{1}{2} \right]}{(\gamma + i\omega_0)^2}, \quad (45)$$

همان طور که از رابطه (۲۹) انتظار داریم تابع گرین $G_R(t)$ در معادله دیفرانسیل زیر صدق می‌کند:

$$\begin{aligned} \ddot{G}_R + \omega_0 G_R + \gamma \omega_0 \frac{d}{dt} \int_0^t d\omega \dot{G}_R(t) \\ \exp[-\gamma(t-t')] = \delta(t), \end{aligned} \quad (46)$$



شکل ۵. نمودار عملگر مکان نوسانگر ($\hat{q}(t)$) بر حسب زمان برای مورد $(\omega_0 = \pi/1, \gamma = \pi/2)$

$$\int_{-\infty}^{\infty} \frac{\alpha^r(\omega)}{s^r + \omega^r} = \frac{\gamma \omega_0^r}{s + \gamma}, \quad (62)$$

به دست می آوریم:

$$L(\hat{q}) = \frac{(s + \gamma)\hat{q}(0)}{(s^r + \omega_0^r)(s + \gamma) - \gamma \omega_0^r}, \quad (63)$$

با استفاده از رابطه (۶۱) به دست می آوریم:

$$L(\hat{X}_\omega) = -\frac{\omega_0^r \alpha(\omega)}{s(s^r + \omega^r)} L(\hat{q}), \quad (64)$$

با گرفتن تبدیلات معکوس لاپلاس از دو طرف معادلات بالا می توان $\hat{q}(t), \hat{X}_\omega(t)$ را به دست آورد. در شکل های ۵ و ۶ نمودار آنها رسم شده است.

مشاهده می شود که نوسانگر در لحظه $(t = -60)$ در بیشینه جابه جایی خود قرار دارد و تمام انرژی در نوسانگر متتمرکز است و با گذشت زمان دامنه نوسانگر را شیب تندی کاهش می یابد و انرژی نوسانگر به سرعت به محیط منتقل می شود و در محدوده $-30 \leq t \leq -60$ معادله حرکت نوسانگر غیر نوسانی و تنها اتلافی خواهد بود. همچنین در لحظه $(t = -30)$ نوسانگر به حالت سکون می رسد و تمامی انرژی خود را به محیط منتقل می کند. بعد از این زمان معادله حرکت ذره نوسانی - اتلافی خواهد بود ولی اتلاف بسیار کندی خواهد داشت و پس از

با استفاده از معادله حرکت هایزنبرگ داریم:

$$\frac{d\hat{q}}{dt} = \hat{\Pi}_q - \int_{-\infty}^{\infty} d\omega \alpha(\omega) \hat{X}_\omega(t), \quad \frac{d\hat{X}_\omega}{dt} = \hat{\Pi}_{X_\omega}, \quad (55)$$

$$\begin{aligned} \frac{d\hat{\Pi}_q}{dt} &= -\omega_0^r \hat{q}, \\ \frac{d\hat{\Pi}_{X_\omega}}{dt} &= -\omega_0^r \hat{X}_\omega + \alpha(\omega) \hat{\Pi}_q. \end{aligned} \quad (56)$$

از ترکیب روابط فوق به دست می آوریم:

$$\hat{q}(t) + \omega_0^r \hat{q}(t) + \int_{-\infty}^{\infty} d\omega \alpha(\omega) \hat{X}_\omega(t) = 0, \quad (57)$$

$$\hat{X}_\omega(t) + \omega_0^r \hat{X}_\omega(t) + \omega_0^r \alpha(\omega) \int_0^t \hat{q}(t') dt' = 0. \quad (58)$$

با گرفتن تبدیلات لاپلاس از دو طرف معادلات بالا داریم:

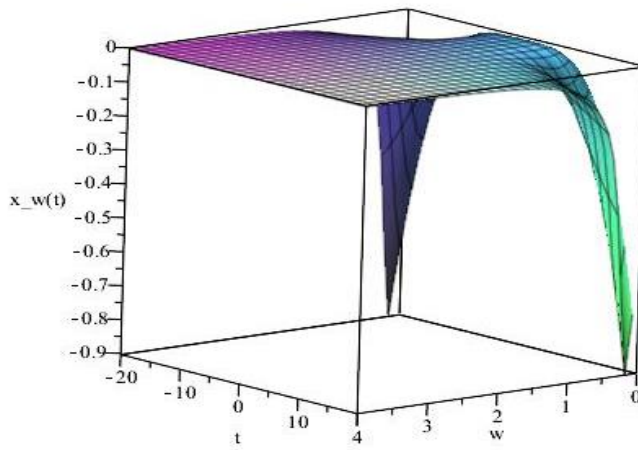
$$(s^r + \omega_0^r)L(\hat{q}) + s \int_{-\infty}^{\infty} d\omega \alpha(\omega) L(\hat{X}_\omega) = \hat{q}(0), \quad (59)$$

$$s(s^r + \omega^r)L(\hat{X}_\omega) + \omega_0^r \alpha(\omega) L(\hat{q}) = 0. \quad (60)$$

با حل معادلات فوق به دست می آوریم :

$$L(\hat{q}) = \frac{\hat{q}(0)}{s^r + \omega_0^r - \omega_0^r \int_{-\infty}^{\infty} \frac{\alpha^r(\omega)}{s^r + \omega^r}}, \quad (61)$$

با استفاده از رابطه



شکل ۶. شکل سه بعدی عملگر نوسانگرهای محیط $(\hat{X}_\omega(t))$ بر حسب (ω, t) برای مورد $(\omega_0 = \pi/1, \lambda = \pi/2)$.

در اینجا از انرژی‌های نقطه صفر $\left(\frac{\hbar\omega_0}{2}, \sum_i \frac{\hbar\omega_i}{2}\right)$ صرف نظر

کردایم. همچنین از رابطه (۵۳) و تقریب موج چرخان استفاده کردایم. با استفاده از معادله حرکت هایزنبرگ داریم:

$$\frac{d\hat{a}}{dt} = -i\omega_0 \hat{a} - \frac{1}{\gamma} \int_{-\infty}^{\infty} d\omega \alpha(\omega) \sqrt{\frac{\omega_0}{\omega}} \hat{b}_\omega, \quad (68)$$

$$\frac{d\hat{b}_\omega}{dt} = -i\omega \hat{b}_\omega + \frac{1}{\gamma} \alpha(\omega) \sqrt{\frac{\omega_0}{\omega}} \hat{a}, \quad (69)$$

با استفاده از رابطه (۶۹) می‌توان نوشت:

$$\begin{aligned} \hat{b}_\omega(t) &= \hat{b}_\omega(0) e^{-i\omega_0 t} + \frac{1}{\gamma} \alpha(\omega) \sqrt{\frac{\omega_0}{\omega}} \int_0^t \hat{a}(t') e^{-i\omega(t-t')} dt', \\ &\quad (70) \end{aligned}$$

با قراردادن رابطه (۷۰) در رابطه (۶۸) داریم:

$$\begin{aligned} \frac{d\hat{a}}{dt} &= -i\omega_0 \hat{a} - \frac{1}{\gamma} \int_{-\infty}^{\infty} d\omega \alpha'(\omega) \frac{\omega_0}{\omega} \\ &\quad \int_0^t \hat{a}(t') e^{-i\omega(t-t')} dt' + \hat{G}_a, \\ &\quad (71) \end{aligned}$$

\hat{G}_a در اینجا عملگر نوفه است و به صورت زیر تعریف می‌شود:

$$\hat{G}_a = -\frac{1}{\gamma} \int_{-\infty}^{\infty} d\omega \sqrt{\frac{\omega_0}{\omega}} \alpha(\omega) \hat{b}_\omega(0) e^{-i\omega_0 t}, \quad (72)$$

حال عملگر کند تغییر (\hat{A}) را به صورت زیر معرفی می‌کنیم:

$$\hat{a}(t) = \hat{A}(t) e^{-i\omega_0 t}, \quad (73)$$

ملاحظه می‌کنیم که می‌توان نوشت:

مدتی تمامی انرژی خود را به محیط منتقل می‌کند.

۶. ارزش انتظاری عملگرها در یک حمام حرارتی

در این قسمت فرض می‌کنیم محیط با یک حمام حرارتی باشد که از توزیع ماکسول-بولتزمن پیروی می‌کند و ارزش انتظاری متغیرهای مختلف را نسبت به حالت‌های حمام به دست می‌آوریم. عملگرها $(\hat{q}(t), \hat{\Pi}_q(t), \hat{\Pi}_{X_\omega}(t))$ را می‌توان بر حسب عملگرها خلق و نابودی نوسانگر هماهنگ (\hat{a}^+, \hat{a}) به صورت زیر نوشت:

$$\hat{q}(t) = \sqrt{\frac{\hbar}{2\omega_0}} (\hat{a} + \hat{a}^+), \quad \hat{\Pi}_q(t) = -i\sqrt{\frac{\hbar\omega_0}{2}} (\hat{a} - \hat{a}^+), \quad (65)$$

همچنین عملگرها $(\hat{X}_\omega(t), \hat{\Pi}_{X_\omega}(t))$ را می‌توان بر حسب عملگرها خلق و نابودی نوسانگرها محیط $(\hat{b}_\omega^+, \hat{b}_\omega)$ به صورت زیر نوشت:

$$\begin{aligned} \hat{X}_\omega(t) &= \sqrt{\frac{\hbar}{\gamma\omega}} (\hat{b}_\omega + \hat{b}_\omega^+), \\ \hat{\Pi}_{X_\omega}(t) &= -i\sqrt{\frac{\hbar\omega}{\gamma}} (\hat{b}_\omega - \hat{b}_\omega^+), \end{aligned} \quad (66)$$

با استفاده روابط (۶۵) و (۶۶) می‌توان هامیلتونی را به صورت زیر بازنویسی کرد:

$$\begin{aligned} \hat{H} &= \hbar\omega_0 \hat{a}^+ \hat{a} + \int_{-\infty}^{\infty} d\omega \hbar\omega \hat{b}_\omega^+ \hat{b}_\omega + \frac{i\hbar}{2} \\ &\quad \int_{-\infty}^{\infty} d\omega \alpha(\omega) \sqrt{\frac{\omega_0}{\omega}} (\hat{a} \hat{b}_\omega^+ - \hat{a}^+ \hat{b}_\omega), \end{aligned} \quad (67)$$

$$\hat{A}(s) = \frac{\hat{a}(\circ)}{s + \frac{1}{\tau} \beta + i\Delta\omega} - i \int_{-\infty}^{\infty} \frac{\omega \alpha(\omega) \hat{b}_{\omega}(\circ) d\omega}{[\omega - \omega_o][s + \frac{1}{\tau} \beta + i\Delta\omega]}, \quad (82)$$

با گرفتن معکوس تبدیل فوریه از دو طرف معادله فوق به دست می‌آوریم:

$$\hat{a}(t) = u(t) \hat{a}(\circ) + \int_0^{\infty} d\omega v_{\omega}(t) \hat{b}_{\omega}(\circ) = e^{-i\omega_o t} \hat{A}(t), \quad (83)$$

در اینجا تعریف کرده ایم:

$$u(t) = \exp\left[-\frac{1}{\tau} \beta + i(\omega_o + \Delta\omega)\right] t, \quad (84)$$

$$v_{\omega}(t) = -\frac{\omega \alpha(\omega) e^{-i\omega_o t} [1 - \exp i(\omega - \omega_o - \Delta\omega)t] e^{-\frac{\beta t}{\tau}}}{\omega(\omega_o - \omega + \Delta\omega - i\frac{\beta}{\tau})}, \quad (85)$$

اگر فرض کنیم انتقال بسامد ($\Delta\omega$) کوچک باشد به معادله لانژون می‌رسیم:

$$\frac{d\hat{A}}{dt} = -\frac{1}{\tau} \beta \hat{A} + \hat{G}_A(t), \quad (86)$$

در اینجا $\hat{G}_A(t)$ عملگرنوفه است و به صورت زیر تعریف می‌شود:

$$\hat{G}_A(t) = -i \int_0^{\infty} \frac{\omega \alpha(\omega) \hat{b}_{\omega}(\circ) e^{-i(\omega - \omega_o)t}}{\omega[s + i(\omega - \omega_o)]}, \quad (87)$$

اگر فرض کنیم محیط یک حمام حرارتی باشد، ماتریس چگالی آن توسط رابطه زیر تعریف می‌شود:

$$\hat{\rho}_R = \frac{\exp\left(-\frac{\hat{H}_R}{k_B T}\right)}{Tr_R \left[\exp\left(-\frac{\hat{H}_R}{k_B T}\right) \right]}, \quad (88)$$

در این حالت می‌توان نوشت:

$$\langle \hat{G}_A(t) \rangle = Tr_R (\hat{\rho}_R \hat{G}_A(t)) = \circ, \quad (89)$$

بنابراین به دست می‌آوریم:

$$\frac{d\hat{A}}{dt} = -\frac{1}{\tau} \beta \langle \hat{A}(t) \rangle_R, \quad (90)$$

از حل معادله دیفرانسیل بالا به دست می‌آوریم:

$$\langle \hat{A}(t) \rangle_R = e^{-\frac{\beta t}{\tau}} \hat{a}(\circ), \quad (91)$$

$$[\hat{a}(t), \hat{a}^+(\circ)] = [\hat{A}(t), \hat{A}^+(\circ)] = \circ, \quad (74)$$

با قرار دادن رابطه (73) در رابطه (71) می‌توان نوشت:

$$\begin{aligned} \frac{d\hat{A}}{dt} &= -\frac{1}{\tau} \int_0^{\infty} d\omega \alpha'(\omega) \frac{\omega}{\omega_o} \\ &\int_0^t \hat{A}(t') \exp i(\omega - \omega_o)(t' - t) dt' + \hat{G}_A, \end{aligned} \quad (75)$$

در اینجا تعریف کرده‌ایم:

$$\hat{G}_A = -\frac{1}{\tau} \int_0^{\infty} d\omega \sqrt{\frac{\omega_o}{\omega}} \alpha(\omega) \hat{b}_{\omega}(\circ) e^{-i(\omega - \omega_o)t}, \quad (76)$$

به علت این که امکان حل دقیق معادله (75) وجود ندارد در اینجا فرض می‌کنیم بر هم کنش بین نوسانگر و حمام حرارتی ضعیف باشد و از تقریب ویگنر-ویسکوف استفاده می‌کنیم. اگر از دو طرف معادله (75) تبدیل لاپلاس بگیریم به دست می‌آوریم:

$$\hat{A}(s) = \frac{\hat{a}(\circ) + \hat{G}_A}{s + \frac{1}{\tau} \int_0^{\infty} \frac{\omega \alpha'(\omega) d\omega}{\omega[s + i(\omega - \omega_o)]}}, \quad (77)$$

در اینجا تعریف کرده‌ایم:

$$\hat{G}(s) = -\frac{1}{\tau} \int_0^{\infty} \frac{d\omega \sqrt{\omega_o} \alpha(\omega) \hat{b}_{\omega}(\circ)}{\sqrt{\omega} [s + i(\omega - \omega_o)]}, \quad (78)$$

حال با استفاده از تقریب ویگنر-ویسکوف می‌توان نوشت:

$$\begin{aligned} \lim_{s \rightarrow \infty} \rightarrow -i \int_0^{\infty} \frac{\omega \alpha'(\omega) d\omega}{\omega[(\omega - \omega_o) - is]} = \\ -i \int_0^{\infty} \left[\frac{\omega}{\omega - \omega_o} + i\pi\delta(\omega - \omega_o) \right] = \frac{\beta}{\tau} + i\Delta\omega, \end{aligned} \quad (79)$$

در اینجا داریم:

$$\beta = \pi \alpha'(\omega_o) = \frac{\tau a' \omega_o^{\frac{1}{2}} \gamma}{(\omega_o^{\frac{1}{2}} + \gamma)}, \quad (80)$$

$$\Delta\omega = -\int_0^{\infty} \frac{\omega \alpha'(\omega) d\omega}{\omega(\omega - \omega_o)}, \quad (81)$$

بنابراین رابطه (77) به رابطه زیر تبدیل می‌شود:

عملگرهای مکان و اندازه حرکت، نسبت به متغیرهای محیط ترکیبی از توابع نوسانی- اتلافی و اتلافی است ولی برای هامیلتونی سامانه (نوسانگر) صرفاً یک معادله اتلافی است که نشان دهنده این است که نوسانگر پس از مدتی تمامی انرژی خود را به محیط منتقل می کند. به دلیل این که در این قسمت فرض کردیم جفت شدگی ضعیف باشد، ثابت فروافت (β) کوچک وزمان فروافت بزرگ خواهد بود. همچنین از رابطه (۷۰) می توان نتیجه گرفت که ثابت فروافت به بسامد نوسانگر (ω_0) و ثابت اتلافی (γ) وابسته است و از بسامد نوسانگرهای محیط مستقل است. در حد زمان های بزرگ ($t \rightarrow \infty$) داریم:

$$\langle \hat{\Pi}_q(t) \rangle_R = 0 \quad \langle \hat{q}(t) \rangle_R = 0 \quad (98)$$

$$\begin{aligned} \langle \hat{\Pi}_q^r(t) \rangle_R &= \frac{\hbar\omega_r \bar{n}}{r} & \langle \hat{H}_S(t) \rangle_R &= \hbar\omega_r \bar{n}, \quad (99) \\ \langle \hat{q}^r(t) \rangle_R &= \frac{\hbar \bar{n}}{2\omega_r} \end{aligned}$$

در این حالت چشمداشتی عملگرهای مکان و اندازه حرکت مستقل از دما و صفر خواهد بود. همچنین چشمداشتی مربع عملگرهای مکان و اندازه حرکت وابسته به دما است و با افزایش دما زیاد می شود. در این حالت در دمای صفر مطلق ($\bar{n} = 0$) چشمداشتی انرژی نوسانگر نسبت به حالت های محیط صفر خواهد شد.

۷. نتیجه گیری

در اغلب تحقیقات انجام شده برای سامانه های اتلافی، از یک سری نوسانگرهای گستته به عنوان محیط استفاده شده است. با این وجود در حدود بیست سال پیش و ت Nero بارنت توانایی یک محیط پیوستاری را برای بررسی سامانه های اتلافی نشان دادند. اخیراً نیز نشان داده است که از یک محیط پیوستاری می توان برای کوانتش بندادی معادلات ماکسول ماکروسکوپیک در یک محیط دلخواه، به طوری که از معادله کرامرز- کرونینگ پیروی می کند، استفاده کرد [۲۲-۲۴]. نتایج مهمی که با استفاده از یک محیط پیوستاری به دست می آید حتی با اعمال شرایط حدی بروی نتایج یک محیط پیوستاری نیز قابل به دست آوردن نیست. بنابراین استفاده از یک محیط پیوستاری از همان

در اینجا از $\hat{A}(0)$ استفاده کرده ایم. همان طور که مشاهده می شود ارزش انتظاری عملگر کند تغییر $\hat{A}(t)$ نسبت به متغیرهای محیط به شکل نمایی فرو افت می کند. از روابط (۷۳) و (۹۱) می توان نوشت:

$$\langle \hat{a}(t) \rangle_R = e^{\left(-i\omega_r - \frac{\beta}{r}\right)t} \hat{a}(0). \quad (92)$$

مشاهده می کنیم که تغییرات زمانی ارزش انتظاری عملگر نابودی میدان نسبت به متغیرهای میدان به شکل نوسانی- اتلافی خواهد بود. با اثبات مشابهی می توان نشان داد:

$$\langle \hat{a}^r(t) \rangle_R = e^{\left(-ir\omega_r - \frac{\beta'}{r}\right)t} \hat{a}^r(0), \quad (93)$$

$$\langle \hat{a}^+(t) \hat{a}(t) \rangle_R = e^{-\beta t} \hat{a}^+(0) \hat{a}(0) + \bar{n} \left[1 - e^{-\beta t} \right], \quad (94)$$

$$\beta' = \left[\frac{\lambda \hat{a}^r \omega_r \gamma}{(r\omega_r + \gamma)} \right], \quad \bar{n} = \langle \hat{a}^+(0) \hat{a}(0) \rangle_R = \frac{1}{e^{\frac{\hbar\omega_r}{k_B T}} - 1}$$

با استفاده از (۲۸) و (۶۵) می توان نوشت:

$$\begin{aligned} \langle \hat{q}(t) \rangle_R &= \sqrt{\frac{\hbar}{r\omega_r}} \left(\langle \hat{a}(t) \rangle_R + \langle \hat{a}^+(t) \rangle_R \right) = \\ &- \frac{\beta}{r} t \left(e^{-i\omega_r t} \hat{a}(0) + e^{i\omega_r t} \hat{a}^+(0) \right), \end{aligned} \quad (95)$$

$$\begin{aligned} \langle \hat{\Pi}_q(t) \rangle_R &= -i\sqrt{\frac{\hbar\omega_r}{r}} \left(\langle \hat{a}(t) \rangle_R - \langle \hat{a}^+(t) \rangle_R \right) = \\ &- \frac{\beta}{r} t \left(e^{-i\omega_r t} \hat{a}(0) - e^{i\omega_r t} \hat{a}^+(0) \right), \end{aligned} \quad (96)$$

مشاهده می شود که معادله حاکم بر ارزش انتظاری عملگرهای مکان و اندازه حرکت نسبت به متغیرهای محیط ترکیبی از توابع نوسانی- اتلافی است. همچنین داریم:

$$\begin{aligned} \langle \hat{q}^r(t) \rangle_R &= \frac{\hbar}{r\omega_r} \left(e^{\left(-ir\omega_r - \frac{\beta'}{r}\right)t} \hat{a}^r(0) \right. \\ &\quad \left. + e^{\left(ir\omega_r - \frac{\beta'}{r}\right)t} \hat{a}^{+r}(0) + e^{-\beta t} (2\hat{a}^+(0)\hat{a}(0) + 1) + r\bar{n} (1 - e^{-\beta t}) \right), \\ \langle \hat{\Pi}_q^r(t) \rangle_R &= -\frac{\hbar\omega_r}{r} \left(e^{\left(-ir\omega_r - \frac{\beta'}{r}\right)t} \hat{a}^r(0) + e^{\left(ir\omega_r - \frac{\beta'}{r}\right)t} \hat{a}^{+r}(0) \right. \\ &\quad \left. - (\hat{a}^+(0)\hat{a}(0) + 1) - 2\bar{n} (1 - e^{-\beta t}) \right), \\ \langle \hat{H}_S \rangle_R &= \hbar\omega_r e^{-\beta t} \hat{a}^+(0) \hat{a}(0) + \hbar\omega_r \bar{n} \left[1 - e^{-\beta t} \right], \end{aligned} \quad (97)$$

مشاهده می شود که معادله حاکم بر مربع ارزش انتظاری

آنها صورت نمی‌گیرد. برای جواب‌های معادله غیرهمگن، برای موقعیت مکانی نوسانگر- q مشاهده کردیم که یک تابع نوسانی- اталافی خواهد بود. در قسمت پنجم با استفاده از روش کوانتش بندادی به کوانتش هامیلتونی کل سامانه پرداختیم. سپس با استفاده از معادله حرکت هایزنبرگ معادله دیفرانسیل - انگرال حاکم بر عملگر مکان نوسانگر- q و مکان نوسانگرها محیط را به دست آوردیم و سپس با استفاده از تبدیلات لاپلاس، جواب‌های آنها را به دست آوردیم. مشاهده کردیم که موقعیت مکانی نوسانگر- q دریک محدوده زمانی غیرنوسانی و به شدت نزولی است که در این حالت نوسانگر- q سریعاً انرژی خود را به محیط منتقل می‌کند و پس از مدتی به حالت سکون می‌رسد و تمامی انرژی خود را به محیط منتقل می‌کند. در قسمت ششم فرض کردیم محیط یک حمام حرارتی باشد و با استفاده از تقریب ویگنر- وایسکوف (برهم کش ضعیف) ارزش انتظاری عملگرها مختلف را نسبت به ویژه حالت‌های حمام گرمایی به دست آوردیم. مشاهده کردیم که ارزش انتظاری عملگرها مکان و اندازه حرکت نسبت به ویژه حالت‌های حمام گرمایی ترکیبی از توابع نوسانی - اталافی خواهد بود. این در حالی است که ارزش انتظاری مربع مکان و مربع اندازه حرکت، ترکیبی از توابع نوسانی و نوسانی - اталافی خواهد بود. ثابت اталافی به بسامد نوسانگر- q و ضریب اطالافی حمام گرمایی وابسته است و با افزایش این دو پارامتر افزایش می‌یابد و از بسامد نوسانگرها حمام گرمایی مستقل است. در حد زمان‌های بزرگ، انرژی نوسانگر- q به یک مقدار پایا شد و در دمای صفر مطلق ($=0$) صفر خواهد شد.

پیوست (الف): اثبات رابطه (۲۵)

با استفاده از رابطه (۲۴) می‌توان نوشت:

$$P \int_{-\infty}^{+\infty} d\xi \frac{\dot{q}(\xi)}{\xi - \omega} = -\pi \left[\omega a^{-1} \omega_0^{-2} \gamma^{-1} + \gamma \omega^{-1} a^{-2} \omega_0^{-2} \right] \dot{q}(\omega), \quad (\text{الف. ۱})$$

ابتدا بسیار توصیه می‌شود. تحقیقات تجربی روی نوسانگرها ماقروسکوپیک که دارای رفتار کوانتومی داشته باشند در سال‌های اخیر پیشرفت چشمگیری داشته است. نوسانگرها تا حالت زمینه خود سرد شده‌اند و حتی در برهم نهی از حالت‌های ارزی قرار گرفته‌اند. در این تحقیق به بررسی دینامیک کوانتومی یک نوسانگر اطالافی در یک محیط پیوستاری با استفاده از مدل جفت شدگی وابسته به سرعت می‌پردازیم. در قسمت دوم معادلات لاغرانژی را برای یک نوسانگر هماهنگ اطالافی دریک محیط پیوستاری به دست می‌آوریم. در قسمت‌های سوم و چهارم متناسب باشد (اتلافی اهمی) جواب‌های معادلات دیفرانسیل- انگرال را به دست می‌آوریم. تنها تفاوت قسمت سوم و چهارم در این بود که در قسمت سوم حد پایین انگرال را در $t = 0$ در نظر گرفتیم. در قسمت چهارم حد پایین انگرال را در $t = -\infty$ در نظر گرفتیم. در قسمت سوم مشاهده کردیم که جواب معادله همگن برای موقعیت مکانی نوسانگر غیرنوسانی است. این جواب، متناظر با یک نوسانگر هماهنگ تقویت شده دریک سامانه باز در بازه زمانی $\left(t > \frac{1}{20} \right)$ و متناظر با یک نوسانگر هماهنگ اطالافی دریک سامانه باز در بازه زمانی $\left(t < \frac{1}{20} \right)$ خواهد بود. در مورد جواب غیرهمگن مشاهده کردیم که موقعیت مکانی نوسانگر به شکل یک تابع نوسانی - اطالافی خواهد بود. در این حالت نوسانگر با محیط خود به شکل نوسانی - اطالافی تبادل انرژی می‌کند و پس از مدتی به حالت سکون می‌رسد و تمامی انرژی خود را به محیط منتقل می‌کند. در این حالت موقعیت مکانی نوسانگرها محیط $\left(t > \frac{1}{20} \right)$ در تمامی نواحی بسامد تغییرات نوسانی - اطالافی خواهد داشت و در بسامدهای پایین افزایش شدید دامنه پیدا خواهد کرد. در قسمت چهارم $(t = -\infty)$ مشاهده کردیم که برای معادله همگن، تنها جواب‌های ممکن جواب‌های بدیهی هستند. در این حالت نوسانگر- q و نوسانگرها محیط همواره در ترازمندی قرار دارند و هیچ گونه تبادل انرژی بین

$$\dot{q}(t) = C_1 \left(\frac{1}{\alpha^r + (t-\beta)^r} \right) + C_r \left(\frac{1}{\alpha^r + (t+\beta)^r} \right) \quad (الف. ۱۳)$$

پیوست (ب): اثبات رابطه (۳۲)

در این قسمت رابطه (۳۳) را اثبات می‌کنیم. با تبدیل لاپلاس گرفتن از دو طرف رابطه (۳۱) می‌توان نوشت.

$$s^r L(q) - sq(0) - \dot{q}(0) + \omega_0^r L(q) - sgn(t) \gamma \omega_0^r L(\dot{q}) L(e^{-\gamma t}) = L(-\dot{f}), \quad (ب. ۱)$$

$$L(q) \left(s^r + \omega_0^r \right) - sq(0) - \dot{q}(0) - \frac{sgn(t) \gamma \omega_0^r s}{1+\gamma} (sL(q) - q(0)) = -L(\dot{f}), \quad (ب. ۲)$$

با ساده‌سازی رابطه فوق داریم:

$$L(q) \left(s^r + \omega_0^r - \frac{s^r sgn(t) \gamma \omega_0^r}{1+\gamma} \right) = \quad (ب. ۳)$$

$$L(-\dot{f}) + sq(0) + \dot{q}(0) - \frac{sgn(t) \gamma \omega_0^r s q(0)}{1+\gamma},$$

اگر فرض کنیم $q(0) = \dot{q}(0) = 0$ باشد، می‌توان نوشت.

$$L(q) \left(s^r + \omega_0^r + \gamma s^r - s^r sgn(t) \gamma \omega_0^r \right) = (1+\gamma) L(-\dot{f}) \quad (ب. ۴)$$

با گرفتن تبدیل معکوس لاپلاس از دو طرف معادله فوق به دست می‌آوریم:

$$\begin{aligned} q(t) &= L^{-1} \left(\frac{-(1+\gamma)L(\dot{f})}{(1+\gamma)(s^r + \omega_0^r) - s^r \omega_0^r \gamma sgn(t)} \right) = \\ &= -(1+\gamma) L^{-1} \left(\frac{L(\dot{f})}{s^r (1+\gamma - \omega_0^r \gamma sgn(t) + \omega_0^r (1+\gamma))} \right), \\ &= \frac{-(1+\gamma)}{1+\gamma - \omega_0^r \gamma sgn(t)} L^{-1} \left(L(\dot{f}(s)) + \frac{1}{s^r + A^r} \right) \\ &= \frac{1}{\omega_0^r} A L^{-1} \left(L(\dot{f}(s)) + \frac{A}{s^r + A^r} \right), \\ &= -\frac{A}{\omega_0^r} L^{-1} \left(L(\dot{f}) \right) L^{-1} \left(\frac{A}{s^r + A^r} \right) = \\ &= -\frac{A}{\omega_0^r} \dot{f}(t) \sin(At) = -\frac{A}{\omega_0^r} \int_{0}^{t} \sin(At') \dot{f}(t-t'), \end{aligned} \quad (ب. ۵)$$

در اینجا $A = \sqrt{\frac{\omega_0^r (1+\gamma)}{1+\gamma + \omega_0^r sgn(t)}}$ است.

با معرفی A به صورت

$$A = P \int_{-\infty}^{+\infty} d\xi \frac{\dot{q}(\xi)}{\xi - \omega}, \quad (الف. ۲)$$

و تبدیل فوريه گرفتن از آن به دست می‌آوریم:

$$F(A) = -F(\dot{q}) F(\omega^{-r}) = \pi i Sgn(\omega) F(\dot{q}), \quad (الف. ۳)$$

اگراز طرف چپ رابطه (الف. ۱) تبدیل فوريه بگیریم و در ω ضرب کنیم به دست می‌آوریم:

$$i^r Sgn(\omega) \dot{F}(\dot{q}) = -a^{-r} \omega_0^{-r} \gamma^{-1} \ddot{F}(\dot{q}) - \gamma a^{-r} \omega_0^{-r} F(\dot{q}) + \gamma^{-1} F(\dot{q}) - \gamma F(\dot{q}) = 0, \quad (الف. ۴)$$

با ساده‌سازی رابطه فوق داریم:

$$\ddot{F}(\dot{q}) + \gamma a^r \omega_0^r Sgn(\omega) \dot{F}(\dot{q}) + (-\gamma^r + a^r \omega_0^r - \gamma^r a^r \omega_0^r) F(\dot{q}) = 0, \quad (الف. ۵)$$

معادله مشخصه معادله فوق به صورت زیر است:

$$\ddot{R} + \lambda a^r \omega_0^r R + (a^r \omega_0^r - \gamma^r - \gamma^r a^r \omega_0^r) = 0, \quad (الف. ۶)$$

از حل معادله مشخصه داریم:

$$R = -\alpha \pm \beta i \quad (الف. ۷)$$

در اینجا داریم:

$$\beta = \frac{1}{r} \sqrt{(a^r \omega_0^r - \gamma^r - \gamma^r a^r \omega_0^r)} - \gamma^r a^r \omega_0^r, \quad \alpha = \frac{\gamma a^r \omega_0^2}{2} \quad (الف. ۸)$$

بنابراین به دست می‌آوریم:

$$F(\dot{q}) = e^{-\alpha \omega} (C'_1 \cos \beta \omega + C'_r \sin \beta \omega), \quad (الف. ۹)$$

با تبدیل فوريه گرفتن از دو طرف معادله فوق داریم:

$$2\pi \dot{q}(t) = F \left[e^{-\alpha \omega} (C'_1 \cos \beta \omega + C'_r \sin \beta \omega) \right], \quad (الف. ۱۰)$$

بنابراین به دست می‌آوریم:

$$\begin{aligned} \dot{q}(t) &= C' \left(\frac{1}{\alpha^r + (t-\beta)^r} + \frac{1}{\alpha^r + (t+\beta)^r} \right) + \\ &\quad C'' \left(\frac{1}{\alpha^r + (t-\beta)^r} - \frac{1}{\alpha^r + (t+\beta)^r} \right), \end{aligned} \quad (الف. ۱۱)$$

حال ثابت‌های C_1 و C_r را به صورت زیر تعریف می‌کنیم:

$$C_r = C'_1 - C'_r, \quad C_1 = C'_1 + C'_r \quad (الف. ۱۲)$$

بنابراین به دست می‌آوریم:

مراجع

1. H Dekker, *Phys. Rep.* **80** (1981) 1.

2. C I Um, K H Yeon, and T F George, *Phys. Rep.* **362** (2002) 63.
3. U Weiss, “*Quantum Dissipative Systems*”, Singapore World Scientific (2008).
4. H Bateman, *Phys. Rev.* **38** (1931) 815.
5. M Blasone and P Jizba, *Can. J. Phys.* **80** (2002) 645.
6. M Blasone and P Jizba, *Ann. Phys.* **312** (2004) 354.
7. D C Latimer, *J. Phys. A: Math. Gen.* **38** (2005) 2021.
8. M C Baldiotti, R Fresneda, and D M Gitman, *Phys. Lett. A* **375** (2011) 1630.
9. H Majima and A Suzuki, *Ann. Phys.* **326** (2011) 3000.
10. E Celeghini, M Rasetti, and G Vitiello, *Ann. Phys.* **215** (1992) 156.
11. V B Magalinskii, *Sov. Phys. JETP* **9** (1959) 1381.
12. J Tuziemski and J K Korbicz, *EPL(Europhys. Lett.)* **112** (2015) 40008.
13. D Boyanovsky and D Jasnow, *Phys. Rev. A* **96** (2017) 062108.
14. L Ferrialdi and A Smirne, *Phys. Rev. A* **96** (2017) 012109.
15. M Carlesso and A Bassi, *Phys. Rev. A* **95** (2017) 052119.
16. H Z Shen, *et al.*, *Phys. Rev. A* **97** (2018) 042121.
17. S H Lim, *et al.*, *J. Stat. Phys.* **170** (2018) 351.
18. P Bialas, J Spiechowicz, and J Łuczka, *arXiv preprint at arXiv:1805. 04012* (2018).
19. P Bialas and J Łuczka, *Entropy* **20** (2018) 123.
20. G W Ford, *Contemp. Phys.* **58** (2017) 244.
21. D Shinichi, and F Yuki, *Phys. Rev. A* **101** (2020) 022105.
22. K Fardin, *Europh. Phys. J. Plus* **135** (2020) 243.
23. V P Tatarskii, *Sov. Phys. Usp.* **30** (1987) 134.
24. H Grabert, U Weiss, and P Talkner, *Z. Phys. B: Condens. Matter* **55** (1984) 87.
25. B Huttner and S M Barnett, *Phys. Rev. A* **46** (1992) 4306.
26. T G Philbin, *New J. Phys.* **12** (2010) 123008.
27. T G Philbin, *New J. Phys.* **13** (2011) 063026.
28. S A R Horsley, *Phys. Rev. A* **84** (2011) 063822.
29. S A R Horsley, *arXiv:1205.0486* (2012)
30. A D O’Connell *et al.*, *Nature* **464** (2010) 697.
31. J D Teufel *et al.*, *Nature* **475** (2011) 359.
32. J Chan, *et al.*, *Nature* **478** (2011) 89.
33. M Aspelmeyer, *et al.*, *J. Opt. Soc. Am. B* **27** (2010) 189.
34. M Poot and H S J Zant, *Phys. Rep.* **511**(2012) 273.
35. A C Pipkin, “*A Course on Integral Equations*”, New York Springer (1991).
36. N I Muskhelishvili, “*Singular Integral Equations*”, New York Dover (2008).